



УДК 577.217.525

ЗАВИСИМОСТЬ УРОВНЯ ЭКСПРЕССИИ ГЕНА В *E. coli* ОТ СТРУКТУРЫ УЧАСТКА ИНИЦИАЦИИ ТРАНСЛЯЦИИ (TIR)

I. ПЕРВИЧНАЯ СТРУКТУРА TIR

© 1995 г. А. И. Гуревич*, Р. С. Есипов, Т. А. Качалина,
А. Л. Каюшин, М. Д. Коростелева

Институт биоорганической химии им. М.М. Шемякина и Ю.А. Овчинникова РАН,
117871, Москва, ул. Миклухо-Маклая, 16/10

Поступила в редакцию 16.03.94 г.

Проведено сравнительное изучение уровней экспрессии двух генов – интерлейкина-3 (*il3*) и эпидермального фактора роста с лидерным пептидом *OmpF* (*omppegf*) – в специально сконструированных плазмидах, содержащих различные структуры усилителей трансляции. Показано, что кроме известных ранее участков связывания района инициации трансляции (TIR) мРНК с 16S рРНК (SD, UB1 и DB) существенную роль в усилении инициации трансляции и соответственно уровня экспрессии генов играет возможность дополнительного связывания TIR с рРНК в участке UB2 (область –30 – –60 н. от инициирующего кодона).

Ключевые слова: нуклеиновые кислоты, мРНК, рРНК, инициаторный комплекс, участок инициации трансляции, экспрессия генов.

Взаимосвязь структуры мРНК в участке инициации трансляции (translation initiation region, TIR) и эффективности инициации трансляции (см. обзор [1]), определяющей уровень экспрессии генов, давно привлекает внимание исследователей. Важное практическое значение этой проблемы – создание рекомбинантных ДНК с целью гетерологичной экспрессии в *E. coli*. Подробно изучены основные принципы построения TIR.

– TIR включает около 50 нуклеотидов, покрываемых рибосомой так, что инициирующий кодон AUG делит его на две примерно равные ветви – нетранслируемую (mTIR) и транслируемую (MTIR) [2].

– В ветви mTIR расположена последовательность Шайна-Дальгарно (SD), комплементарная части 3'-концевой последовательности 16S рРНК [3], хотя наличие SD не является строго обязательным и ее отсутствие может компенсироваться другими взаимодействиями мРНК с рибосомой [4 - 6]. Длина участка ветви mTIR между кодоном

Сокращения: TIR, mTIR и MTIR – участок инициации трансляции, его нетранслируемая и транслируемая ветви; SD – последовательность Шайна-Дальгарно; ASD – anti-SD, 3'-концевая последовательность 16S рРНК; UB – upstream box, часть mTIR, комплементарная участку AUB (anti-upstream box) в 16S рРНК; DB – downstream box, часть MTIR, комплементарная участку ADB (anti-downstream box) в 16S рРНК; TE – translational enhancer, усилитель трансляции; MCS – mini-cistron sequence, мини-цистрон; н. – нуклеотидное звено.

* Автор для переписки.

AUG и последовательностью SD обычно составляет 6 – 12 н., и для эффективной инициации трансляции существует оптимальное соотношение между этой длиной и структурой триплета, предшествующего инициаторному кодону (например, наилучшим является расстояние в 7 н. при структуре –1-триплета ATA, AGA или GTA) [7].

– Ветви mTIR и MTIR могут содержать комплементарные последовательности, способные образовать шпильку, с кодоном AUG в экспонированной петле; однако участки вблизи AUG не должны входить в состав стабильных дуплексов. Эффективность инициации трансляции обратно пропорциональна стандартной свободной энергии образования вторичной структуры мРНК в районе TIR, $\Delta G^0 = -RT\ln[\text{нетранслируемая форма}/\text{транслируемая форма}]$. Если ΔG^0 ниже порогового значения (–10 – –12.5 ккал/моль), то трансляция блокируется. Следует отметить, что, если ΔG^0 выше определенного значения, пропорциональность не соблюдается [8 - 10].

– Специфичность нуклеотидной последовательности до и после SD вряд ли играет существенную роль в эффективности инициации трансляции. Скорее имеет значение удельный вес остатков A и U [11, 12].

– Эффективность инициации трансляции значительно увеличивается при наличии в мРНК кроме ближайшей к AUG последовательности SD (SD1) также второго участка связывания рибосомы (SD2 + AUG2), отделенного от SD1 A/U-богатой



Рис. 1. Возможное строение инициаторного комплекса с участием мРНК гена 10 фага Т7 [25] и 16S pPHK. Строение AUB в петле 437 - 497 – согласно работе [23]; строение ADB в петле 1410 - 1540 – согласно работе [24]. Вторичная структура 16S pPHK – согласно работе [26]. Точками отмечены комплементарно взаимодействующие пары нуклеотидов мРНК и 16S pPHK. Подчеркнут кодон AUG.

областью, образующей мини-цистрон (*mini-cis-tron sequence*, MCS). MCS сводит к минимуму возможность образования локальной вторичной структуры и тем самым облегчает связывание рибосомы [13, 14].

– Существуют другие, предшествующие SD, элементы мРНК, играющие роль специфических усилителей трансляции (translational enhancer, TE) [15 - 21], которые, возможно, препятствуют образованию локальной вторичной структуры [22] или (например, в случае лидерной мРНК гена 10 фага Т7) способны комплементарно взаимодействовать с участком 16S pPHK (нуклеотиды 468 - 476, anti-upstream box, AUB) [23].

– Наконец, было найдено, что TIR эффективно транслируемой мРНК гена 0.3 фага Т7 в ветви MTIR (нуклеотиды +15 - +26) комплементарна нуклеотидам 1471 - 1482 (anti-downstream box, ADB) 16S pPHK и что подобные, комплементарные тому же району 16S pPHK, участки имеются в других эффективных TIR [24].

Таким образом, эффективность инициации трансляции определяется структурой TIR, позволяющей в результате взаимодействия с 30S-субъединицей правильно ориентировать мРНК, чтобы инициирующий кодон был сближен с антикодоном fMet-tPHK в инициаторном комплексе. Возможное расположение TIR эффективно транслируемой мРНК гена 10 фага Т7 относительно 16S pPHK в 30S субъединице рибосом в инициаторном комплексе приведено на рис. 1.

Следует, однако, отметить, что большинство приведенных выше наблюдений было сделано при изучении отдельных или немногочисленных структурных типов mTIR или MTIR, поэтому выводы о консенсусных структурах UB и DB или других TE нуждаются в уточнении, а вся концепция – в дополнительных доказательствах.

С целью расширить представления о взаимодействиях мРНК в инициаторном комплексе и их связи с уровнем экспрессии генов мы предприняли настоящее исследование. Учитывая, что экспери-

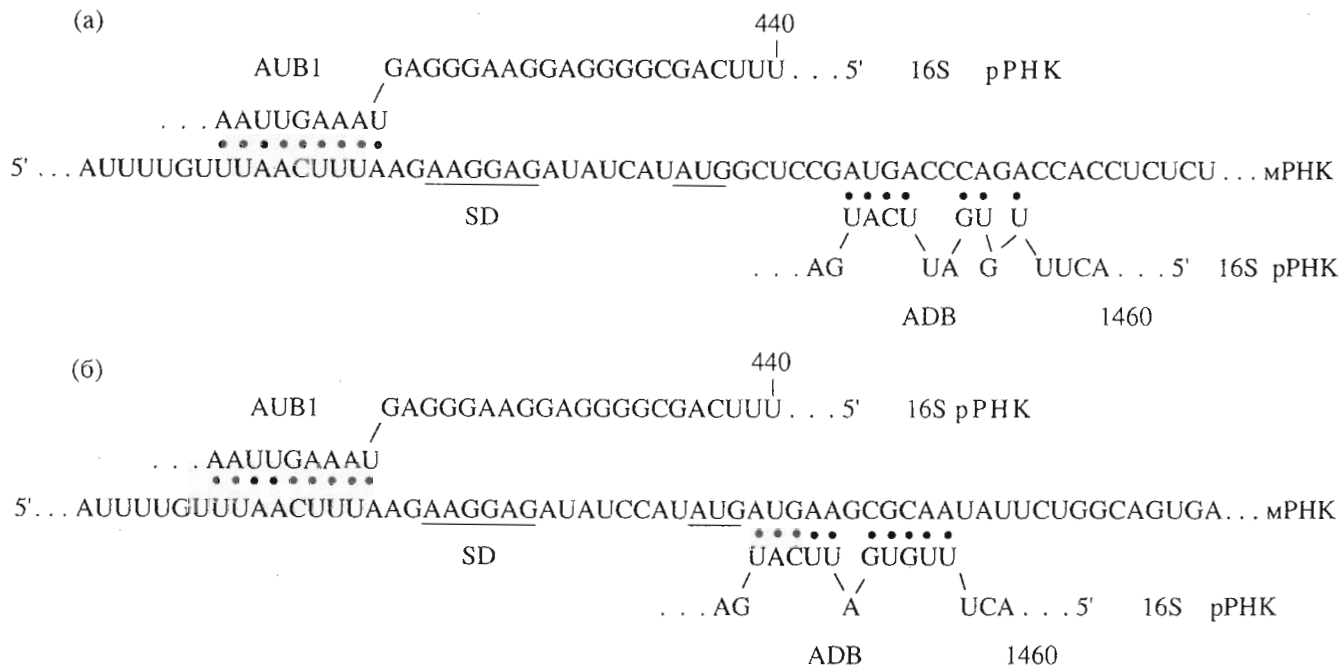


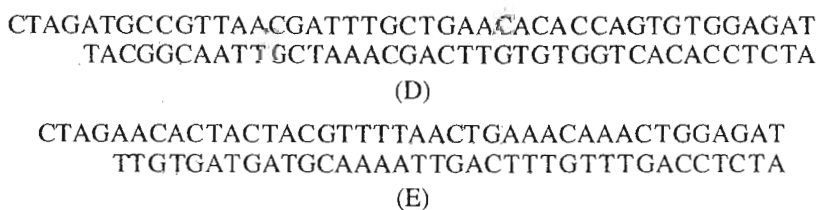
Рис. 2. Структуры TIR в мPHK генов *il3* и *lomppegf* в плазмидах pTE2il3 (а) и pTE2lomppegf (б). Подчеркнуты кодоны AUG и последовательности SD, показана возможность образования комплементарных дуплексов с 16S pPHK в участках AUB1 и ADB.

ментально определяемый уровень экспрессии генов в *E. coli* неизбежно связан с деградацией белкового продукта, и для того, чтобы избежать в какой-то мере такую деградацию, в качестве объектов мы выбрали два гена – искусственный ген человеческого интерлейкина-3 (hIL3), образующего при экспрессии в *E. coli* тельца включения [15], и искусственный ген человеческого эпидермального фактора роста (hEGF) с лидерным пептидом OmpF – белка, секретируемого в перiplазму *E. coli* [27]. Эти гены представляют два типа MTIR в соответствующих мPHK. На рис. 2 приведены структуры MTIR этих генов.

В качестве объектов сравнительного изучения различных mTIR мы решили использовать струк-

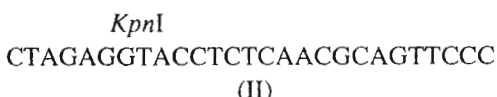
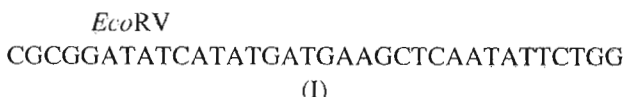
туры трех TE: TE гена *10* фага T7 (TEX) [15, 20], TE гена *atpE E. coli* (TEE) [18, 19, 29] и TE гена *D* фага λ (TED) [21] (см. рис. 3).

Ранее мы уже изучили экспрессию гена *il3* в трех конструкциях с TEX (pTE1il3, pTE2il3 и pTE3il3) в сравнении с плазмидой pFPCP10il3 (p8il3), лишенной структуры TEX [15], лишь качественно отметив, что структура с TE1 увеличивает экспрессию гена *il3* значительно слабее, чем структуры с TE2 и TE3, которые содержат второй сайт SD. Поэтому далее в конструкциях для сравнительного изучения мы варьировали участок TE в плазмиде pTE2il3 между сайтами *XbaI* и *EcoRV*. В результате такой замены участка TE2 синтетическими дуплексами (D) и (E)



из плазмиды pTE2il3 были получены соответственно плазмиды pTEDil3 и pTEEl3. В качестве вектора для конструирования плазмид с геном *lomp-egf* мы использовали плазмиду pTE4 (рис. 3в), отличающуюся от ранее описанной

плазмиды pTE2 [15] наличием полилинкера (рис. 3). Ген *lomp-egf* мы выделили из плазмиды pBThEGF [28] путем амплификации с праймерами, содержащими сайты рестриктаз *EcoRV* (I) и *KpnI* (II):



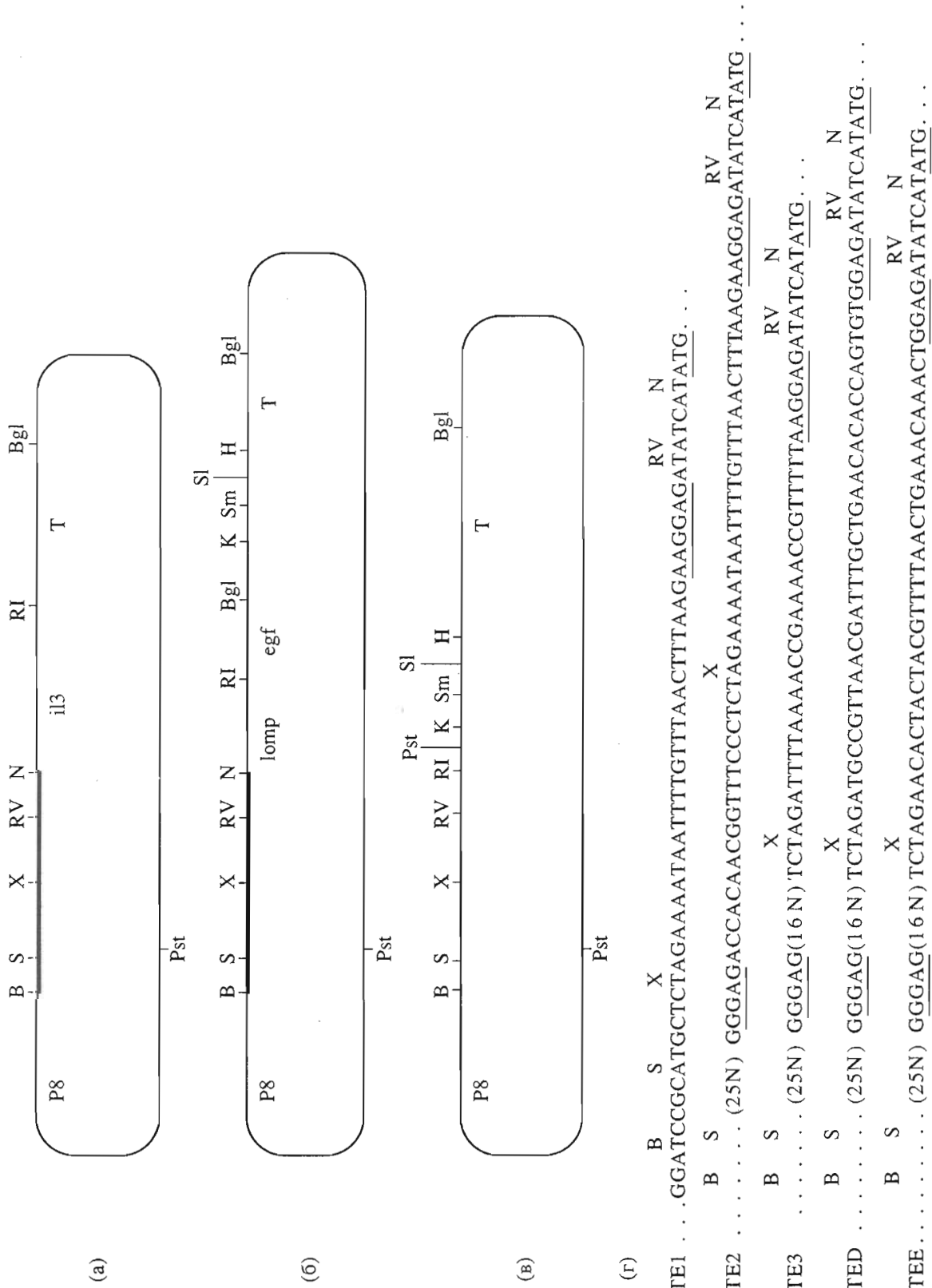


Рис. 3. Структуры плазмид, экспрессирующих гены белков *hIL3* (*i13*) (а) и *OmpF-hEGF (omp-egf)* (б), и векторной плазмиды р_{TE4} (в). Указаны сайты рестрикта (B – *Bam*H, *Bgl* – *Bgl*II, *RI* – *Eco*RI, *RV* – *Eco*RV, H – *Hind*III, K – *Kpn*I, N – *Nde*I, *Pst* – *Pst*I, S – *Sph*I, *Sm* – *Sph*I, *H* – *Hpa*II), участок промотора P8 и терминатора транскрипции T; участок TE отмечен жирной чертой. (г) – нуклеотидные последовательности различных участков TE в экспрессионных плазмidaх, подчеркнуты последовательности SD и инициирующий кодон.



Рис. 4. Структуры mTIR мРНК генов и взаимодействие их с участками AUB1 и AUB2 16S pРНК (указаны номера нуклеотидов в последовательности 16S pРНК) (а). Подчеркнуты последовательности SD. Приведены данные для мРНК плазмид pTE1il3 (б), pTE2il3 (в), pTE3il3 (г), pTEDil3 и pTEDlompegf (д); e - pTEEil3 и pTEElompegf (е); мРНК гена *D* фага λ (ж); мРНК гена *aipE* *E. coli* (з).

После гидролиза этими рестриктазами ген *lomp-egf* клонировали по соответствующим сайтам вектора pTE4 и получили плазмиду pTE2lomp-egf. Рекомбинацией *PstI/EcoRV*-фрагмента этой плазмиды с *PstI/EcoRV*-фрагментами плазмид pTEDil3 и pTEEil3 были получены конструкции pTEDlompegf и pTEElompegf.

Сконструированными плазмидами трансформировались штаммы *E. coli* HB101 (*recA*), SG20050 (*lon*), TG1 (*recA*+/*F*, *lacI*^q). При этом учитывалось различное соотношение скоростей про-

цессов биосинтеза и деградации белка в различных штаммах [29]. Клетки продуцентов анализировали после культивирования в стандартных условиях путем гель-электрофореза тотальных лизатов с последующим сканированием гелей, прокрашенных кумасси R-250.

Из приведенных в таблице данных следует, что максимальный уровень экспрессии генов *il3* и *lomp-egf* достигается в плазмidaх, участки TIR которых характеризуются не только последовательностями вблизи инициирующего кодона,

Биосинтез белков на мРНК с различными структурами тTIR

Экспрессионная плазмида	Ген	Содержание (%) белкового продукта в тотальном лизате штамма-продуцента <i>E. coli</i>		
		HB101	SG20050	TG1
p8il3	<i>iL3</i>	<1	<1	<1
pTE1il3	»	2.8	3.4	3.4
pTE2il3	»	24.7	27.9	12.0
pTE3il3	»	7.0	8.0	4.6
pTEDil3	»	5.7	7.9	3.8
pTEEil3	»	15.9	16.2	3.8
pTE2lompegf	<i>lompegf</i>	3.7	2.4	2.8
pTEDlompegf	»	4.2	3.1	2.4
pTEElompegf	»	4.4	2.9	2.4

включающими UB, SD и DB (позиции -30 - +30), но и более отдаленным участком (-30 - -60), который влияет на уровень экспрессии. Мы предполагаем, что последний, возможно, взаимодействует с другим участком той же области 16S рРНК (позиции 437 - 497, см. рис. 1), с которой взаимодействует UB (UB1). Сопоставление соответствующих структур тTIR изученных нами мРНК позволяет идентифицировать предполагаемый участок UB2 (см. рис. 4).

Участок UB2 можно обнаружить в ряде природных генов с высоким уровнем экспрессии, например ген *D* фага λ [30] (рис. 4ж) и ген *atpE E. coli* [19] (рис. 4з).

Приведенные выше экспериментальные данные (см. таблицу) хорошо укладываются в общую закономерность. Так, наименьший уровень экспрессии гена *iL3* наблюдается в случае плазмида p8il3, в которой нет участков, кодирующих последовательность UB1 и UB2 (см. выше), а также плазмиды pTE1il3, в которой при наличии хорошего связывания рибосомы с SD и UB1 эффективность взаимодействия UB2 с рРНК мала. Наивысший уровень экспрессии для гена *iL3* достигается с плазмидой pTE2il3, в которой эффективность взаимодействия SD, UB1 и UB2 с рРНК оптимальна. Немного ниже уровень экспрессии для гена *iL3* с плазмидами pTE3il3 и pTEEil3, в которых связывание участков SD и UB1 с рибосомой слабее, расстояние между структурами UB1 и UB2 уменьшено, но сохраняется тот же, что и в pTE2il3, участок UB2; еще ниже уровень экспрессии этого гена в плазмиде pTEDil3, где существенно слабее связывание участка UB1 с рибосомой. Однако и в этих случаях уровень экспрессии выше, чем с плазмидой pTE1il3. Что же касается плазмид с геном *lompegf*, то с конструкцией, предполагающей конститутивный синтез белка в отсутствие эле-

ментов UB1 и UB2, экспрессия гена была ничтожно мала; в трех других приведенных в таблице конструкциях (pTE2lompegf, pTEDlompegf и pTEElompegf) практически не наблюдалось различий в уровнях экспрессии. Все эти конструкции содержат одинаковый участок UB2 и различаются участком UB1.

Таким образом, возможность дополнительного связывания TIR с 16S рРНК в участке AUB2 приводит к увеличению уровня экспрессии генов, что можно объяснить увеличением эффективности инициации трансляции. Очевидно, что такое связывание зависит также от вторичной структуры TIR, рассмотрению которой посвящено следующее сообщение.

ЭКСПЕРИМЕНТАЛЬНАЯ ЧАСТЬ

В работе использовали три, акриламид, N,N'-метиленбисакриламид, персульфат аммония (Merck); N,N,N',N'-тетраметилэтилендиамин (Reanal); агарозу, ATP, dNTP, бромистый этидий (Sigma); мочевину, ос. ч. ("Реахим"); агар, триптон, дрожжевой экстракт (Difco); [γ -³²P]ATP, [α -³²P]dATP (2000 КИ/ммоль, Обнинск); Т4-ДНК-лигазу (КФ 6.5.1.1), Т4-полинуклеотидкиназу (КФ 2.7.1.78); Таq-ДНК-полимеразу и ДНК-полимеразу Клевнова (КФ 2.7.7.7); рестрикционные эндонуклеазы (КФ 32.1.23.x) *EcoRI*, *EcoRV*, *KpnI*, *XbaI* (Fermentas, Вильнюс).

Защищенные олигонуклеотиды синтезировали традиционным фосфоамидитным методом на синтезаторе ASM-102U (БИОСАН, Новосибирск) и после полного деблокирования выделяли, как описано в работе [31].

Условия экспериментов по получению рекомбинантных плазмид, трансформации компетентных клеток, клонированию, а также гель-электрофорезу и выделению ДНК из гелей приведены в работе [32].

Гидролиз рестриктазами проводили в универсальном буфере KGB [33].

Для анализа белков 1 мл бактериальной культуры центрифугировали, растворяли в лизирующем буфере [34], нагревали 5 мин при 100°C и белки разделяли в 15% ПААГ в присутствии додецилсульфата натрия [34]. Гели прокрашивали кумасси R-250 и сканировали на хроматосканере CS-930 (Shimadzu, Япония).

СПИСОК ЛИТЕРАТУРЫ

- McCarthy E.G., Gualerzi C. // Trends Genetics. 1990. V. 6, № 3. P. 78 - 85.
- Steitz J.A. // Biological Regulation and Development. V. 1: Gene Expression / Ed. R.F. Goldberger. N.Y.: Plenum Press, 1979. P. 349 - 399.

3. Shine J., Dalgarno L. // Nature. 1975. V. 254. № 5495. P. 34 - 38.
4. Walz A., Pirotta V., Ineichen K. // Nature. 1976. V. 262. № 5570. P. 665 - 669.
5. Gallie D.R., Kado C.I. // Proc. Nat. Acad. Sci. USA. 1989. V. 86. № 1. P. 129 - 132.
6. Loechel S., Inamine J.M., Hu P.-Ch. // Nucl. Acids Res. 1991. V. 19. № 24. P. 6905 - 6911.
7. Curry K.A., Tomich C.-S.C. // DNA. 1988. V. 7. № 3. P. 173 - 179.
8. De Smith M.H., van Duin J. // Proc. Nat. Acad. Sci. USA. 1990. V. 87. № 19. P. 7668 - 7672.
9. De Smith M.H., van Duin J. // Progr. Nucl. Acids Res. Mol. Biol. 1990. V. 38. № 1. P. 1 - 35.
10. Bucheler U.S., Werner D., Schirmer R.H. // Nucl. Acids Res. 1992. V. 20. № 12. P. 3127 - 3133.
11. Fatscher H.P., Geisen R.M., Fuchs E. // Eur. J. Biochem. 1988. V. 175. № 3. P. 461 - 465.
12. Olsen M.K., Rockenbach S.K., Curry K.A., Tomich C.-S.C. // J. Biotechnol. 1989. V. 9. № 2. P. 179 - 190.
13. Cheynet V., Verrier B., Mallet F. // Prot. Express. Purif. 1993. V. 4. № 5. P. 367 - 372.
14. Schoner B.E., Belagale R.M., Schoner R.G. // Proc. Nat. Acad. Sci. USA. 1986. V. 83. № 22. P. 8506 - 8510.
15. Гуревич А.И., Скапцова Н.В., Луценко С.В., Смирнов В.А., Куркин А.Н., Ажаев А.В. // Биоорганическая химия. 1991. Т. 17. № 5. С. 647 - 652.
16. Царева Н.В., Музыченко М.Л., Бони И.В. // Биоорганическая химия. 1993. Т. 19. № 10. С. 968 - 976.
17. Mahajna J., Oppenheim A.B., Rattray A., Gottesman M. // J. Bacteriol. 1986. V. 165. № 1. P. 167 - 174.
18. McCarthy J.E.D., Schairer H.U., Sebald W. // EMBO J. 1985. V. 4. № 2. P. 519 - 526.
19. McCarthy J.E.D., Sebald W., Lammers R. // Gene. 1986. V. 41. № 2. P. 201 - 216.
20. Ollins P.O., Devine C.S., Rangwala S.H., Kavka K.S. // Gene. 1988. V. 73. № 1. P. 227 - 235.
21. Suisse M., Altuvia S., Koby S., Giladi H., Oppenheim A.B. // Mol. Gen. Genet. 1988. V. 214. № 3. P. 570 - 573.
22. Schauder B., McCarthy J.E.D. // Gene. 1989. V. 78. № 1. P. 59 - 72.
23. Ollins P.O., Rangwala S.H. // J. Biol. Chem. 1989. V. 264. № 29. P. 16973 - 16976.
24. Sprengart M.L., Fatscher H.P., Fuchs E. // Nucl. Acids Res. 1990. V. 18. № 7. P. 1719 - 1723.
25. Dunn J.J., Studier F.W. // J. Mol. Biol. 1983. V. 166. № 4. P. 477 - 535.
26. Stern S., Powers T., Changchien L.-M., Noller H.F. // Science. 1989. V. 244. № 4906. P. 783 - 790.
27. Schauder B., Blocker H., Frank R., McCarthy J.E.G. // Gene. 1987. V. 52. № 2/3. P. 279 - 283.
28. Батчикова Н.В., Альтман И.Б., Луценко С.В., Смирнов В.А., Назимов И.В., Эшкенди Л.Г., Синягина Е.А., Ажаев А.В. // Биоорганическая химия. 1992. Т. 18. № 6. С. 766 - 776.
29. Луценко С.В., Гуревич А.И., Птицын Л.Р., Рязанова Л.А., Смирнов В.А. // Биоорганическая химия. 1992. Т. 18. № 3. С. 391 - 397.
30. Sanger F., Coulson A.R., Hong G.F., Hill D.F., Petersen G.B. // J. Mol. Biol. 1982. V. 162. № 4. P. 729 - 773.
31. Гуревич А.И., Качалина Т.А., Каюшин А.Л., Коростелева М.Д., Мирошников А.И. // Биоорганическая химия. 1993. Т. 19. № 6. С. 629 - 632.
32. Гуревич А.И., Некрасова О.В. // Биоорганическая химия. 1988. Т. 14. № 2. С. 149 - 152.
33. McClelland M., Hanish J., Nelson M., Patel Y. // Nucl. Acids Res. 1988. V. 16. № 1. P. 364.
34. Laemmli U.K. // Nature. 1970. V. 227. № 5229. P. 680 - 685.

Dependence of the Gene Expression Level in *E. coli* from the Translation Initiation Region (TIR) Structure

I. The Primary Structure of TIR

A. I. Gurevich, R. S. Esipov, I. A. Kachalina, A. L. Kayushin, and M. D. Korosteleva

Shemyakin and Ovchinnikov Institute of Bioorganic Chemistry, Russian Academy of Sciences,
117871 GSP-7 Moscow V-437, Ul. Miklurho-Maklaya, 16/10, Russia.

Abstract – The comparison of expression levels of two genes – interleukin-3 (*il3*) and epidermal growth factor connected to leader peptide of OmpF (*lompgef*) – was carried out using specially constructed plasmids contained various structures of translational enhancers. It was shown that besides already known binding sites from mRNA translation initiation region (TIR) to 16S rRNA (SD, UB1 and DB), there is additional binding site of TIR disposed from -30 to -60 nt upstream of start codon AUG (UB2) having significant increasing effect on translation initiation and correspondingly on expression level.

Key words: nucleic acids, mRNA, rRNA, initiatory complex, translation initiation region, gene expression.